

Figura 6.50 Resultados isotrópicos obtenidos con la Célula Triaxial, representados en el plano  $s : (\sigma_m - u_a) : e_w : e$ . Trayectorias de humedecimiento-secado, carga-descarga. Ensayo TISO-1.

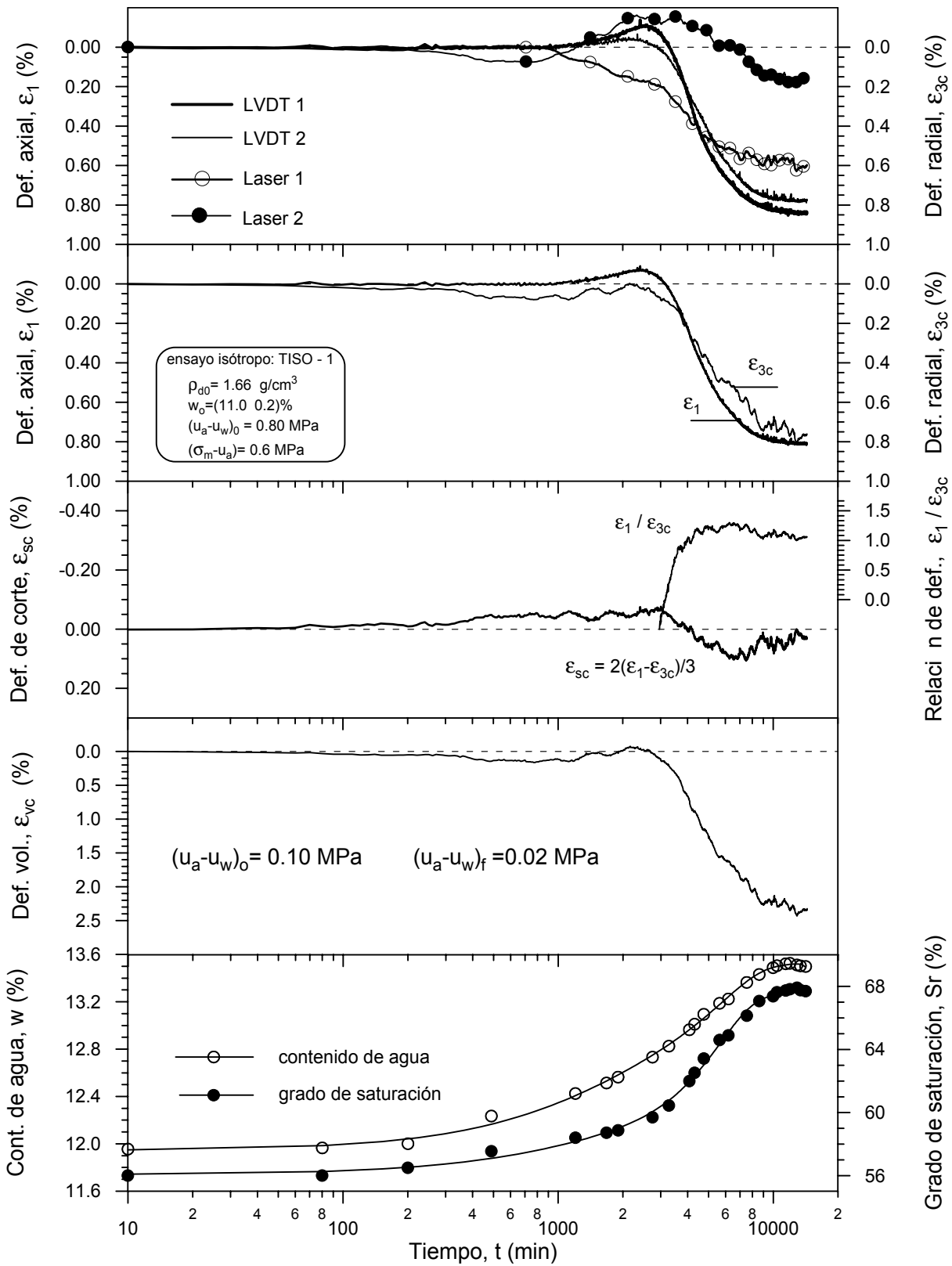


Figura 6.51 Evolución en el tiempo de las deformaciones, contenidos de agua y grados de saturación en una etapa de humedecimiento:  $(u_a - u_w)_0 = 0.10 \text{ MPa} \rightarrow (u_a - u_w)_f = 0.02 \text{ MPa}$ . Ensayo TISO-1.

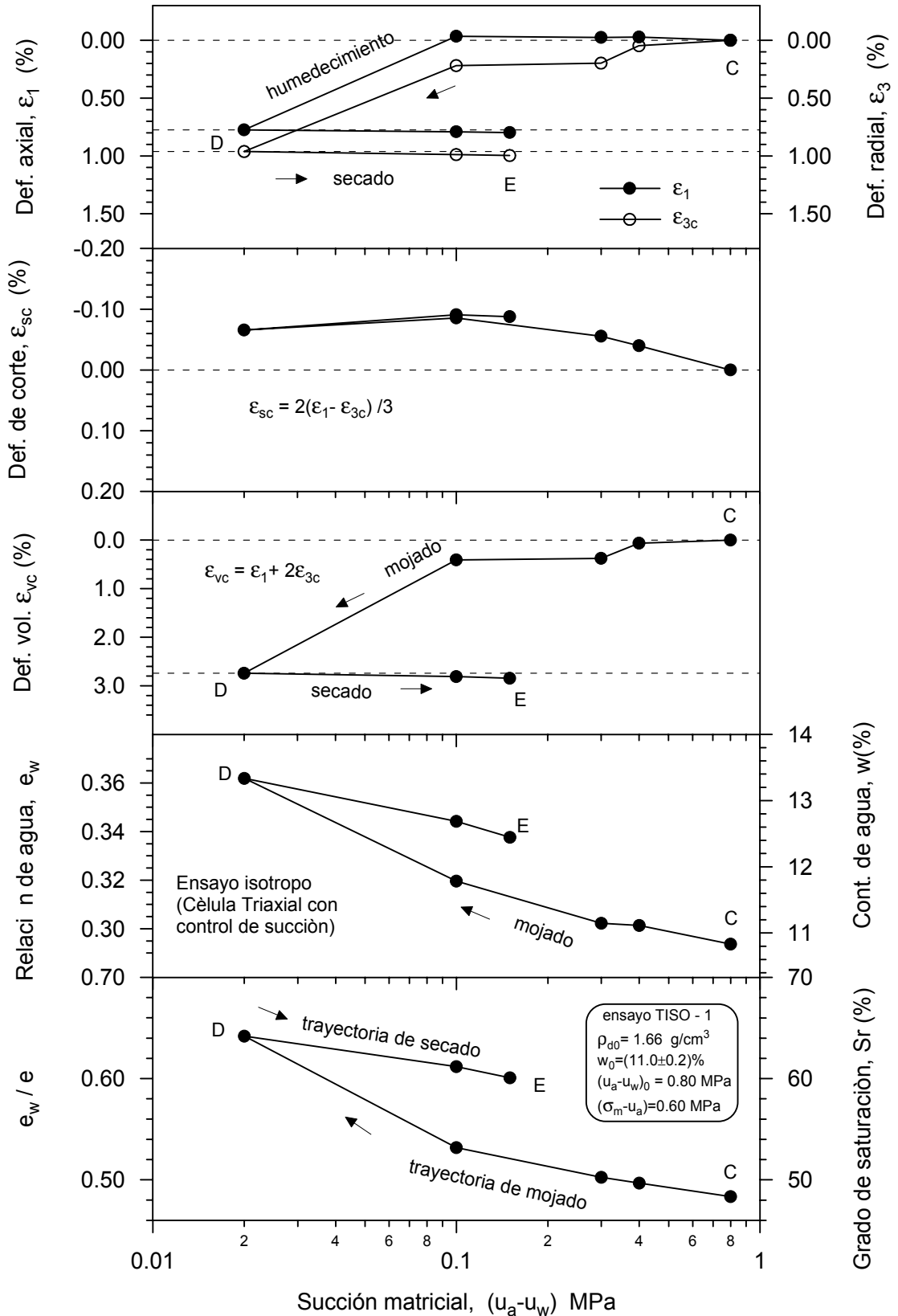


Figura 6.52 Variación de la deformación axial, radial, de corte y volumétrica y cambios en contenidos de agua y grados de saturación en un ciclo de humedecimiento-secado bajo tensión media constante  $(\sigma_m - u_a) = 0.6 \text{ MPa}$ . Ensayo TISO-1.

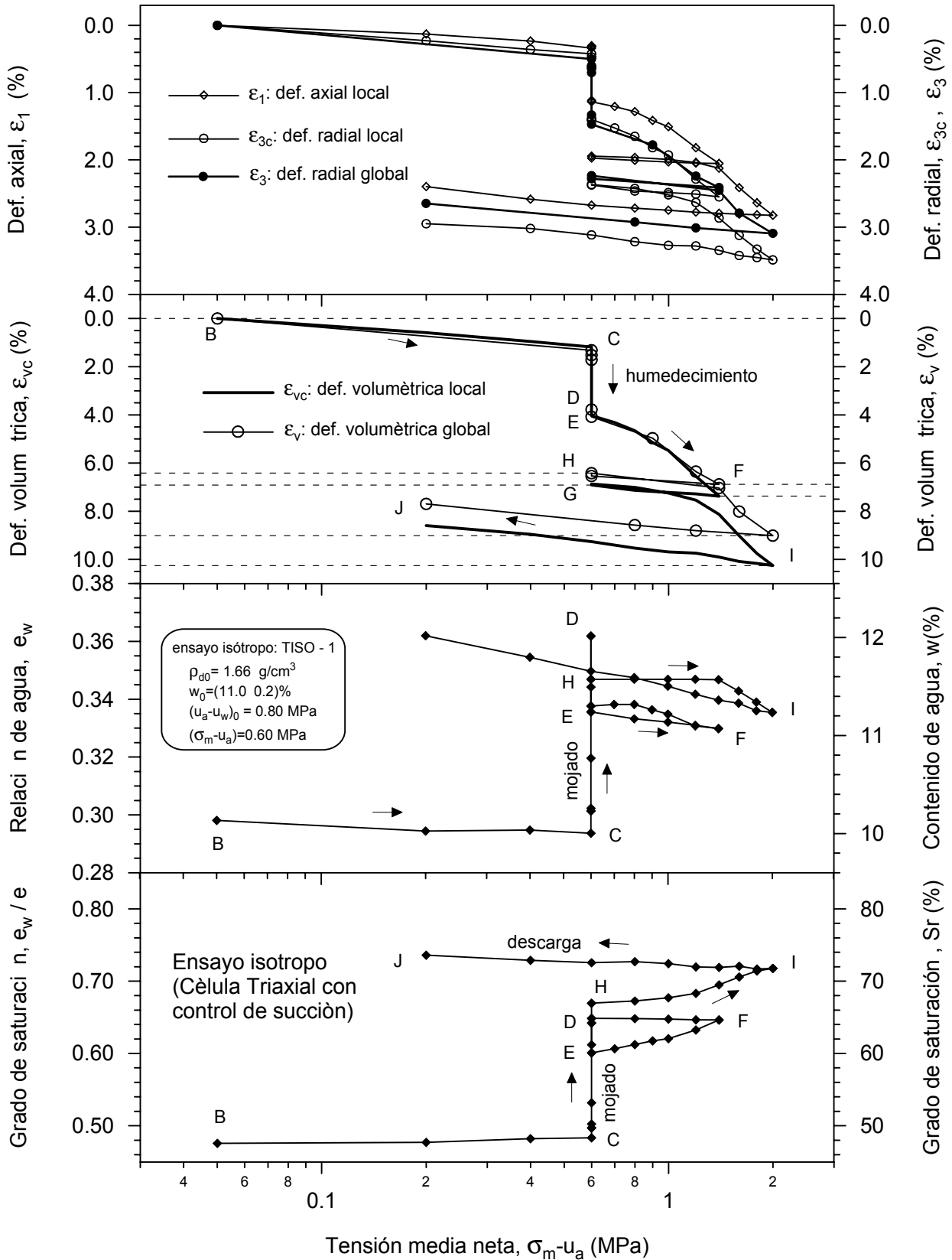


Figura 6.53a Variación de las deformación axial, radial (local y global), volumétrica (local y global), contenidos de agua y grados de saturación en trayectorias de humedecimiento-secado y carga-descarga. Ensayo TISO-1 (Célula triaxial).

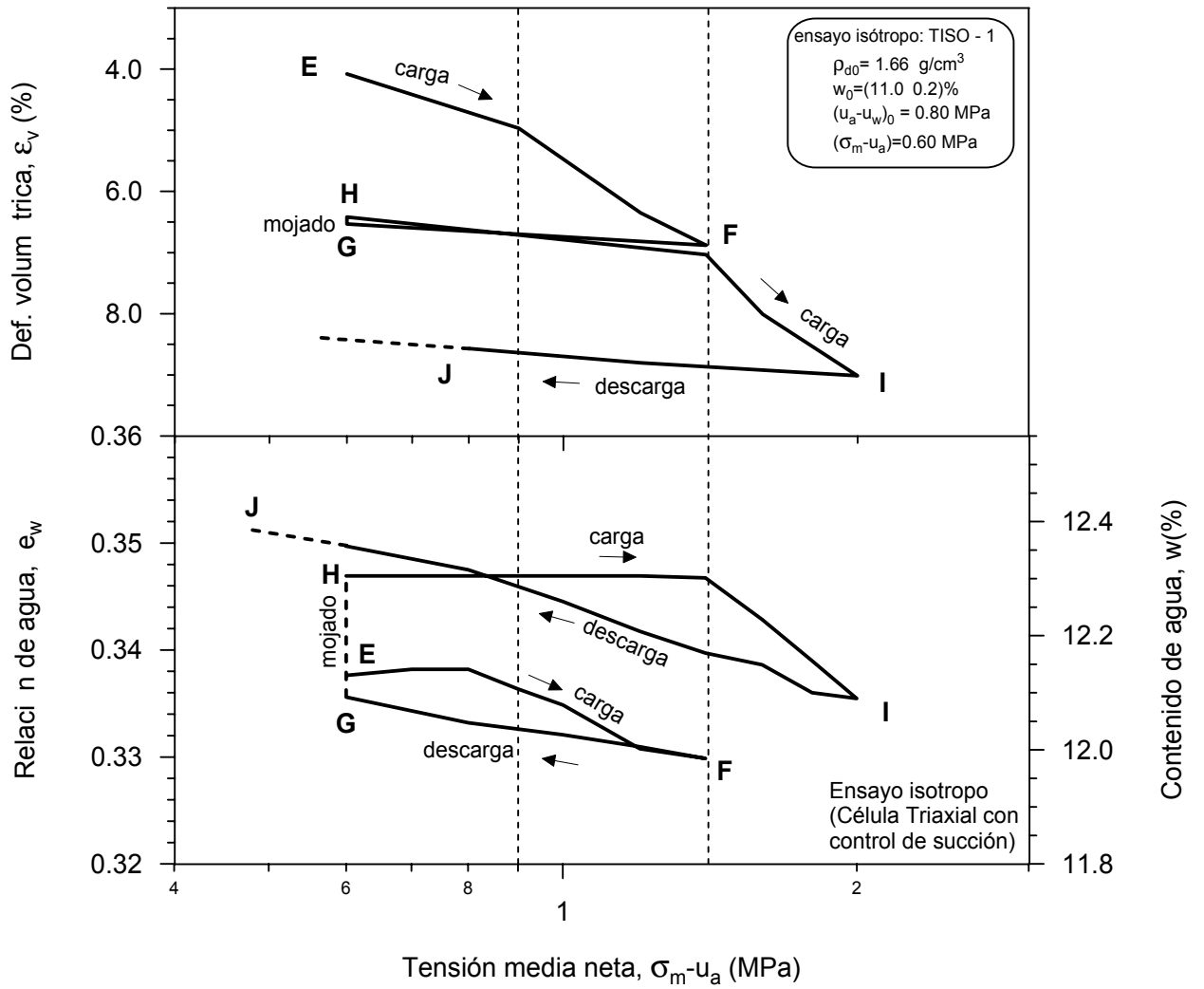


Figura 6.53b Variación de la deformación volumétrica y la relación de agua durante los ciclos de carga–descarga. Trayectorias EFG y HIJ, ensayo TISO-1 (Célula triaxial).

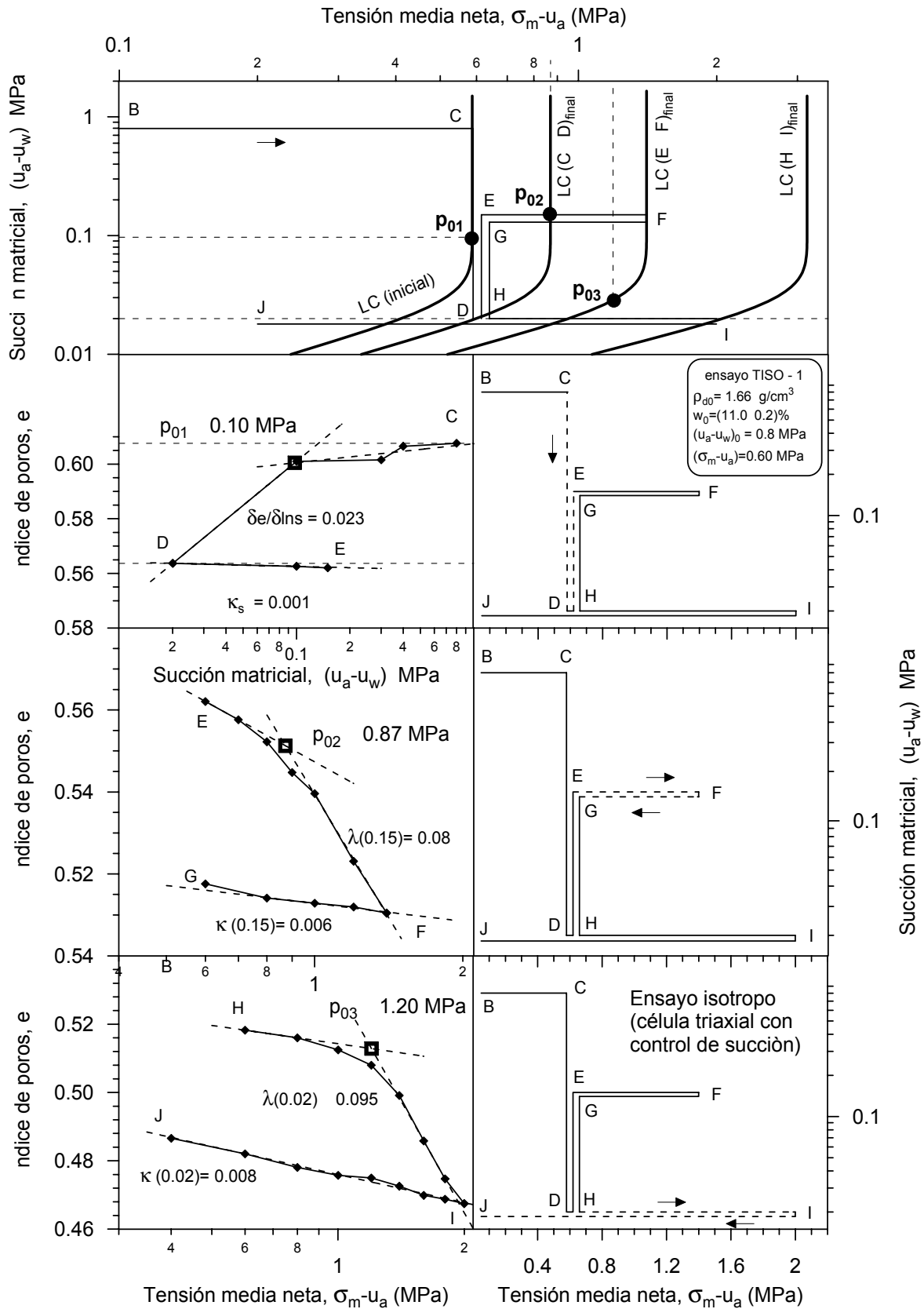


Figura 6.54 Representación gráfica de la obtención de los parámetros en ciclos de carga–descarga y humedecimiento–secado. Desplazamiento de la superficie de fluencia (LC) en el espacio  $(u_a-u_w, \sigma_m-u_a)$ , ensayo TISO-1.